

بررسی شاخص انعطاف‌پذیری سامانه مخزن در شرایط تغییر اقلیم در تأمین بهینه آب

پریسasadat آشفته

استادیار گروه عمران، دانشکده فنی و مهندسی دانشگاه قم، قم

(تاریخ دریافت: ۱۴/۱۱/۱۳۹۵ - تاریخ بازنگری: ۱۲/۶/۱۳۹۶ - تاریخ تصویب: ۲۵/۶/۱۳۹۶)

چکیده

شاخص انعطاف‌پذیری بیان‌گر چگونگی وضعیت تأمین آب است، به‌گونه‌ای که با افزایش این شاخص وضعیت سامانه تأمین آب بهتر خواهد بود و دوره‌های بحرانی با کمترین خطر سپری خواهد شد. هدف از این تحقیق، ارزیابی شاخص انعطاف‌پذیری سامانه مخزن قرققو (آذربایجان شرقی) در شرایط تغییر اقلیم (۲۰۶۹-۲۰۴۰) برای سه وضعیت ۸۵، ۱۰۰ و ۷۰ درصد تأمین تقاضای آب، به‌منظور شناسایی و مدیریت دوره‌های بحرانی می‌باشد. پیش‌پردازش‌های اقلیمی تحقیق حاضر توسط HadCM3 (سناریوی انتشار A2) انجام می‌گیرد که به عنوان ورودی به مدل‌های شبیه‌سازی آبدهی به مخزن (IHACRES) و مدل تقاضای آب (Cropwat) هستند. نتایج نشان می‌دهد که متوسط حجم آورد سالانه درازمدت رودخانه در دوره آتی ۳۰ ساله، ۲۵ درصد نسبت به دوره پایه (۱۹۷۱-۲۰۰۰) کاهش می‌یابد. در حالی که به‌طور متوسط حجم تقاضای سالانه آب پایین‌دست سد ۲۰ درصد نسبت به دوره پایه، افزایش می‌یابد. در ادامه، به‌منظور بهره‌برداری بهینه از مخزن با هدف تأمین آب، تابع هدفی به صورت کمینه کردن مجموع مجذور کمبودهای ماهانه تعیین می‌شود. بدین منظور، برای حل مسئله به‌وسیله روش NLP از نرم‌افزار LINGO 11.0 استفاده شد. نتایج نشان می‌دهند که در شرایط تغییر اقلیم برای وضعیت اول (با تأمین ۱۰۰ درصد نیاز) نسبت به پایه، شاخص انعطاف‌پذیری کاهش (۲۰ درصد) خواهد یافت. این کاهش برای وضعیت‌های دوم و سوم، به ترتیب ۱۶ و ۲ درصد هستند.

واژه‌های کلیدی: تغییر اقلیم؛ نرم‌افزار LINGO 11.0؛ بهره‌برداری از مخزن؛ شاخص انعطاف‌پذیری.

(2010). در ادامه پژوهش‌های صورت گرفته در این زمینه ارائه شده است.

Yu *et al.* (2002) اثرات تغییر اقلیم بر فرآیند تبخیر و تعرق در شالیزارهای کشور تایوان را مورد بررسی قرار دادند. نتایج نشان داد تا سال ۲۰۵۰، سه تا پنج درصد بر مقدار تبخیر و تعرق افزوده خواهد شد. Salemi and Heidari (2006) عدم مدیریت جامع و مناسب آب در حوضه آبریز زاینده‌رود و مصرف آب از طریق احداث شبکه‌های آبیاری جدید را علت افزایش تقاضای آب نسبت به تأمین در این حوضه آبریز بیان کردند. نتایج نشان داد افزایش مصرف باعث قرار گرفتن حوضه تحت تنفس مداوم و کاهش حجم آب ورودی به بالاتر گاوخونی می‌گردد. بررسی سناریوهای مختلف بیان نشان داد که در صورت ادامه روند فعلی، منابع آب موجود در این حوضه قادر به تأمین تقاضا و مصرف آب در بخش‌های کشاورزی، صنعت و شرب تا قبل از سال ۱۴۰۰ نخواهد بود. در سال‌هایی که متوسط بارش حوضه نرمال باشد تقاضا در این سه بخش می‌تواند رشد اندکی داشته باشد اما در صورت بروز خشکسالی سهم بخش آب کشاورزی باید کاهش چشم‌گیری یابد. Ashofteh and Bozorg (2014) منحنی‌های فرمان مخزن آیدوغموش را تحت

مقدمه

بر اثر انتشار گازهای گلخانه‌ای، تغییر در میانگین متغیرهای اقلیمی و همچنین مقادیر حدی آن نسبت به مقادیر متناظر گذشته در حال افزایش است (IPCC, 2007). این پدیده که به آن تغییر اقلیم اطلاق می‌شود، می‌تواند بر بخش‌های مختلف از جمله منابع و مصارف آب تأثیر بگذارد.

در ارزیابی اثرات منطقه‌ای تغییر اقلیم، تولید سری زمانی سناریوی اقلیمی در دوره‌های آتی ضروری است. برای این منظور از خروجی مدل‌های جفت شده گردش عمومی اتمسفر-Atmospheric-Ocean General Circulation Model، (AOGCM) استفاده می‌شود (Wilby and Harris, 2006). همچنین بررسی تحقیقات گذشته نشان می‌دهد که در بحث ارزیابی اثرات تغییر اقلیم و سازگاری با اثرات منفی آن، تأکید بر در نظر گرفتن همه گروه‌های ذینفع در قالب مدیریت جامع منابع آب می‌باشد (OECD, 1993). تحقیقات اندکی با این Boyer *et al* (2004) و Quinn *et al* (2004) رویکرد صورت گرفته است.

پیشنهاد دادند. آنها مدل بهره‌برداری مخزن را براساس کمینه‌سازی کل آب تخصیصی با استفاده از الگوریتم تکاملی دیفرانسیلی توسعه دادند. نتایج، کاهش اطمینان‌پذیری و افزایش آسیب‌پذیری را برای دوره‌های آینده نسبت به دوره پایه نشان دادند.

با توجه به اهمیت تولیدات کشاورزی در بحث امنیت غذایی، محاسبه میزان تقاضای آب در دسترس و نیز توزیع آن در طول سال آبی در شرایط تغییر اقلیم ضروری است. از سویی دیگر، با توجه به این که طراحی سد و نیز مدیریت مخزن با در نظر گرفتن سری‌های آماری گذشته انجام می‌گیرد، پاسخگوی شرایط تغییر اقلیم نخواهد بود. بنابراین لازم است ضمن برآورد میزان تقاضای آب و آب در دسترس در شرایط آتی، انعطاف‌پذیری سامانه مخزن مورد بررسی قرار گیرد تا در مدیریت مخزن استفاده شود.

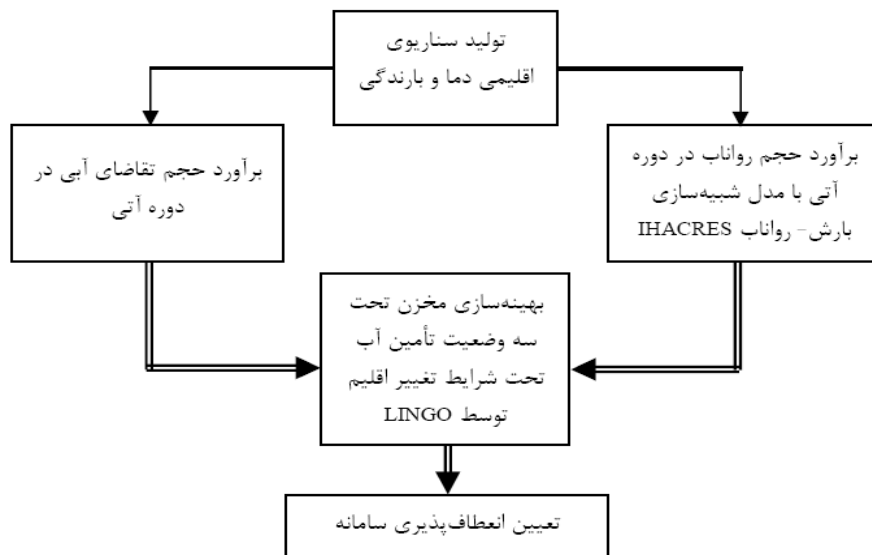
در این تحقیق سعی شده است یک رویکرد برای مطالعه رفتار یک سامانه یکپارچه سد و شبکه در شرایط تغییر اقلیم با تأکید بر اثرگذاری بر انعطاف‌پذیری سامانه مخزن ارائه شود. بدین منظور داده‌های اقلیمی دما و بارندگی برای دوره پایه (۲۰۰۰- ۱۹۷۱) و دوره آتی (۲۰۶۹- ۲۰۴۰) با استفاده از خروجی مدل HadCM3 و تحت سناریوی انتشار A2 (به دلیل تولید بیشترین گاز گلخانه‌ای و بنابراین بحرانی‌ترین سناریوی انتشار)، استخراج خواهد شد. سپس تأثیر تغییر اقلیم بر آورد ورودی رودخانه به سد قرنقو (آذربایجان شرقی) واقع شده است، با استفاده از مدل شبیه‌سازی بارش- رواناب IHACRES در دوره آتی بررسی می‌شود. همچنین بررسی تأثیر این پدیده بر نیاز آبی شبکه و به تبع آن تقاضای حجم آبی پایاب سد صورت خواهد گرفت. همچنین در این تحقیق اثر این پدیده بر منابع آب و تقاضای آب را تحت سه وضعیت تأمین آب ناشی از تغییر اقلیم (وضعیت اول، تأمین ۱۰۰ درصدی تقاضای آب، وضعیت دوم، تأمین ۸۵ درصدی تقاضای آب و وضعیت سوم، تأمین ۷۰ درصدی تقاضای آب) بررسی می‌شود. در ادامه، مقادیر بهینه خروجی از مخزن سد در شرایط تغییر اقلیم با رویکرد کمینه کردن مجموع مجذور کمبودهای ماهانه در تخصیص به تقاضا تعیین می‌گردد و انعطاف‌پذیری سامانه در شرایط بهینه‌سازی مخزن در شرایط تغییر اقلیم با رویکرد کمینه توضیحات فوق، هدف از این تحقیق، ارزیابی شاخص انعطاف‌پذیری سامانه مخزن قرنقو در شرایط تغییر اقلیم برای سه وضعیت (۱۰۰، ۸۵ و ۷۰ درصد تأمین تقاضای آب) بهمنظور شناسایی و مدیریت دوره‌های بحرانی می‌باشد.

شرایط تغییر اقلیم توسط برنامه‌ریزی ژنتیک استخراج نمودند. تابع هدف به کاررفته، کمینه نمودن مجموع مجذور کمبودهای نسبی ماهانه در تخصیص تقاضای آب در شرایط تغییر اقلیم بود. بررسی‌ها نشان داد که سیاست‌های بهره‌برداری از مخزن در شرایط تغییر اقلیم باید تغییر کنند. Krol *et al.* (2011) با انجام تحقیقی در شمال غرب بزرگی نشان دادند تأثیر تغییر اقلیم بر میزان دسترسی به آب بسیار شدید است. همچنین تغییر اقلیم بر توزیع آب در دسترس از مخازن کوچک ممکن است تأثیرات شدیدتری بر جمع‌آوری آب از مخازن بزرگ داشته باشد. آنها - همچنین نشان دادند تأثیر مخازن کوچک در دسترسی به آب نسبت به مخازن بزرگ به احتمال زیاد مهم‌تر است و به طور Santamarta *et al.* (2014) چالش‌های جدید در جزایر را در ارتباط با تغییر اقلیم و آب بررسی نمودند. ایشان نتیجه گرفتند که تغییر اقلیم منجر به تغییرات کوتاه‌مدت و بلندمدت فراوانی وقایع مرتبه با آب مانند سیلاب‌ها و خشکسالی‌ها خواهد شد که تأثیر مستقیمی بر کمیت و کیفیت منابع آب بهخصوص در جزایر خواهد داشت. Yan *et al.* (2015) اثر تغییر اقلیم بر دبی فصلی و جریان حدتی را بررسی نمودند. ایشان مدل ظرفیت نفوذ متغیر (Variable Infiltration Capacity, VIC) و پنج مدل اقلیمی را تحت سناریوهای IPCC (یعنی RCP4.5 و RCP8.5) برای ارزیابی استفاده نمودند. مطالعات قبلی بر روی دبی سالانه و وقایع حدتی سیلاب در حوضه آبریز، تمرکز داشت. البته ارزیابی تغییرات در جریان‌های کم هم مهم بود، زیرا حوضه از کمبود آب وجود نمک در فصل خشک آسیب دیده بود. نتایج، کاهشی را در متوسط جریان کم تحت پنج مدل اقلیمی نشان دادند که این مقدار کاهش در سطح حوضه برای RCP4.5 از ۴۸ درصد متغیر بود. در فصول بارندگی، دبی رودخانه در بازه میانی و پایینی رودخانه افزایش و در بازه بالایی رودخانه کاهش یافت. بررسی‌ها نشان داد که تغییر دبی رودخانه، تنفس آبی را تشدید نمود. Chen *et al.* (2016) یک نسخه بهبودیافته از NSGA-II، بنام c-NSGA-II را با استفاده از عملگرهای متعدد در نظر گرفتند. سپس برای بهره‌برداری از مخزنی در جنوب غربی چین بکار رفت. برای ارزیابی عملکرد بهینه‌سازی سه شاخص (همگرایی، تنوع و شاخص بیشینه حجم) استفاده شد. نتایج نشان داد که استراتژی موازی پیشنهادشده به طور قابل توجهی کیفیت راه حل را در هر دو جهت همگرایی و تنوع بهبود بخشید. Zamani *et al.* (2017) رویکرد بهبودیافته‌ای را برای بررسی برگشت‌پذیری مخازن آسیب‌پذیر با استفاده از روش احتمالاتی برای مدیریت منابع آب تحت شرایط تغییر اقلیم www.SID.ir

(2012)، شبیه‌سازی بارش- رواناب، برآورد حجم تقاضای آبی، بهینه‌سازی مخزن تحت سه وضعیت تأمین آب ناشی از تغییر اقلیم توسط LINGO و تعیین انعطاف‌پذیری سامانه می‌باشد، رائمه می‌شوند. مراحل انجام این تحقیق در شکل (۱) ارائه شده است.

مواد و روش‌ها

در این بخش روش‌های مورد نیاز برای این تحقیق که شامل معرفی منطقه طرح، تعریف وضعیت‌های مورد بررسی، پردازش داده‌های اقلیمی در دوره آتی با استفاده از مدل HadCM3 [به دلیل عملکرد مناسب آن در شبیه‌سازی سناریوهای اقلیمی (Ashofteh and Massah Bavani, 2010)] به سایر مدل‌ها نسبت به سایر مدل‌ها



شکل ۱- روند نمای انجام تحقیق

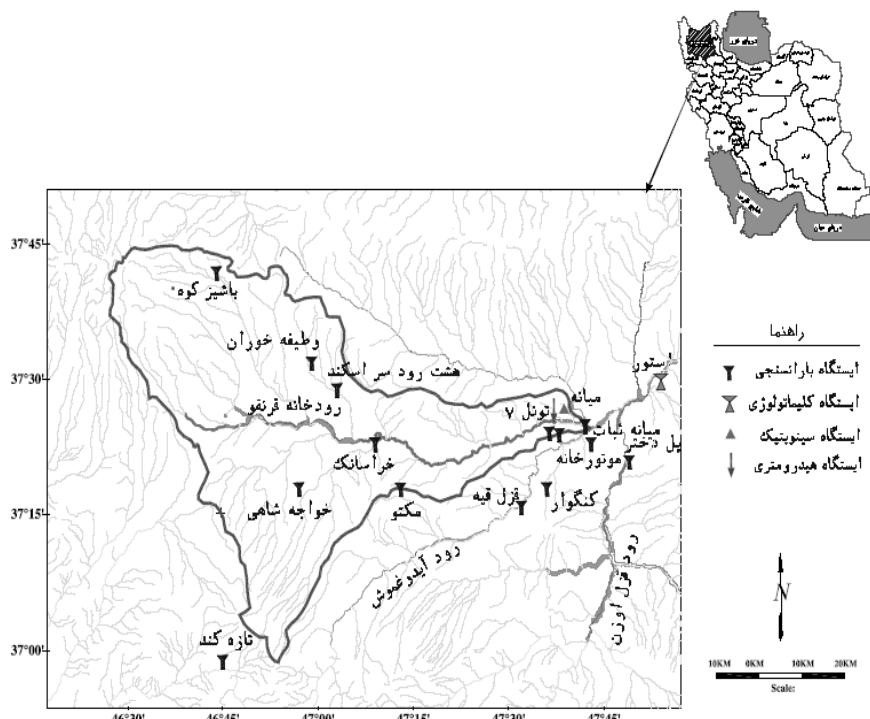
(WMO) ۱۹۷۱-۲۰۰۰ را تحت پوشش را قرار می‌دهد، به توصیه سازمان ملی هواشناسی (WMO) این بازه زمانی به عنوان بازه پایه مدنظر قرار گرفته است. در جدول (۱) مشخصات ایستگاه‌های هواشناسی موجود در منطقه ارائه شده است. در این حوضه هشت رودخانه جریان دارد که سد قرنقو در محل تلاقی دو رودخانه آلمالو و قرنقو احداث شده است. مخزن سد قرنقو دارای تراز نرمال $160/3$ متر از سطح دریا است. ظرفیت کل مخزن ۱۶۵ میلیون مترمکعب، حجم مفید آن ۱۴۸ میلیون مترمکعب و حجم مرده آن ۱۷ میلیون مترمکعب است.

وضعیت‌های مورد بررسی
در این تحقیق مدل بهینه‌سازی، برای سه وضعیت ناشی از تغییر اقلیم (وضعیت اول، در نظر گرفتن اثر تغییرات تؤامان حجم رواناب و حجم تقاضای آب براساس تأمین ۸۵ درصد و وضعیت سوم، در نظر گرفتن اثر تغییرات تؤامان حجم رواناب و حجم تقاضای آب براساس تأمین ۷۰ درصد) برای دوره آتی (۲۰۶۹- ۲۰۰۰) اجرا شده‌اند. نسبت به دوره پایه (۱۹۷۱- ۲۰۰۰)، اجرا شده‌اند.

منطقه طرح

قلمرو مکانی مورد مطالعه در این مقاله حوضه آبریز قرنقو در شمال غرب ایران، در استان آذربایجان شرقی قرار دارد. این حوضه در طول شرقی ۴۵ درجه و ۲۵ دقیقه و در عرض شمالی ۴۷ درجه و ۵۵ دقیقه، در دامنه شرقی رشته‌کوه سهند (۴۸ کیلومتری شهرستان هشت‌ترود) با وسعت ۳۵۹۰ کیلومترمربع جای گرفته است (شکل ۲). از نظر تقسیم‌بندی هیدرولوژیکی ایران، این حوضه در محدوده حوضه آبریز دریای خزر و زیر حوضه‌ای از سفیدرود بزرگ به شمار می‌آید. رودخانه قرنقو با طول تقریبی ۱۲۰ کیلومتر با جهتی شرقی- غربی در این حوضه جریان دارد و آبدی سالانه آن ۱۴۹ میلیون مترمکعب می‌باشد. مرتضع‌ترین نقطه این حوضه، قله بزداغ با ارتفاع ۳۶۰۵ متر در شمال غرب و پست‌ترین نقطه در خروجی حوضه با ارتفاع ۱۰۴۳ متر قرار دارد. بیشینه شبیه آن $5/36$ درصد و کمینه شبیه آن $0/2$ درصد است.

متوسط بارندگی سالانه در کل حوضه $403/7$ میلی‌متر بوده که ماههای مارس، آوریل و می پرباران‌ترین ماهها است. از آنجایی که ایستگاه‌های موجود در سطح حوضه، بازه زمانی



شکل ۲- حوضه قرقتو و جانمایی ایستگاه‌های هواشناسی

جدول ۱- مشخصات ایستگاه‌های هواشناسی موجود در منطقه

عرض جغرافیایی (دقیقه-درجه)	طول جغرافیایی (دقیقه-درجه)	ارتفاع حوضه (متر)	نوع ایستگاه	نام ایستگاه
۴۶-۵۹	۳۷-۳۲	۱۷۶۰	باران سنگی	وظیفه خوران
۴۷-۴۲	۳۷-۲۵	۱۱۰۰	باران سنگی	میانه شبات
۴۷-۰۳	۳۷-۲۹	۱۷۵۰	باران سنگی	هشت رود سر اسکن
۴۷-۳۷	۳۷-۲۴	۱۱۰۰	باران سنگی	آتوول ۷
۴۶-۵۷	۳۷-۱۸	۱۶۰۰	باران سنگی	خواجه شاه
۴۷-۵۴	۴۷-۳۰	۱۲۰۰	کلیماتولوژی	استور
۴۷-۴۹	۳۷-۲۱	۱۲۰۰	باران سنگی	پل دختر
۴۷-۴۳	۳۷-۲۳	۱۰۶۰	باران سنگی	موتور خانه
۴۶-۴۵	۳۶-۵۹	۱۸۵۰	باران سنگی	تازه کند
۴۷-۳۶	۳۷-۱۸	۱۳۲۰	باران سنگی	کنگوار
۴۷-۳۲	۳۷-۱۶	۱۴۹۹	باران سنگی	قزل قیه
۴۷-۱۳	۳۷-۱۸	۱۶۹۰	باران سنگی	مکتو
۴۷-۳۸	۳۷-۲۴	۱۲۰۰	سینوبیتیک	میانه

محاسباتی HadCM3 (به عنوان خروجی‌های مدل) که حوضه مورد نظر را در بر می‌گیرد، حاصل می‌شود (IPCC-DDC, 1988). پس از استخراج دما و بارندگی ماهانه در بازه پایه و تغییر اقلیم از مدل HadCM3، به منظور کوچک‌مقیاس نمودن داده‌های اقلیمی برای حوضه مورد نظر، سناریوی اقلیمی مطابق روابط (۱) و (۲) محاسبه می‌شوند. در نهایت با اضافه کردن سناریوی اقلیمی دما به دمای مشاهداتی حوضه و ضرب کردن

تولید سناریوهای اقلیمی در دوره آتی به منظور تولید سناریوهای اقلیمی، از مدل HadCM3 (تحت سناریوی انتشار A2) استفاده می‌شود. با استفاده از برنامه بازخوانی داده (GCM-RDP) و با وارد کردن مختصات مکانی ایستگاه‌های مورد نظر هواشناسی در حوضه برای بازه زمانی مورد نظر و برای سناریوی انتشار مدنظر (به عنوان ورودی‌های مدل)، سری زمانی متغیر اقلیمی دما و بارندگی مربوط به سلول

$$ET_{C_t} = K_{C_t} \times ET_{0_t} \quad (رابطه ۵)$$

که در آن، ET_{C_t} = تبخیر و تعرق گیاه مورد نظر در ماه t ، ET_{0_t} = تبخیر و تعرق گیاه مرجع یا تبخیر و تعرق پتانسیل در ماه t و K_{C_t} = ضریب گیاهی در ماه t می‌باشد. برای محاسبه ET_{0_t} از روش پنمن مانتیس فائو استفاده می‌شود. همچنین میزان بارندگی مؤثر به روش USDA توسط نرم‌افزار Cropwat و به صورت روابط (۶) و (۷) محاسبه می‌شود. در ادامه، نیاز خالص آبیاری طبق رابطه (۸) محاسبه می‌شود. در نهایت، تقاضای آب در ماههای مختلف در دوره آتی به صورت رابطه (۹) تعیین می‌شود.

$$RA_{eff_t} = RA_t / 125 \times (125 - 0.2RA_t) \quad (رابطه ۶)$$

$$RA_t \leq 250mm$$

$$RA_{eff_t} = 125 + 0.1 \times RA_t \quad (رابطه ۷)$$

$$RA_t > 250mm$$

$IR_t = ET_{C_t} - RA_{eff_t}$ (رابطه ۸)
 $V_t = \frac{IR_t \times 10 \times A}{1000000}$ (رابطه ۹)

که در آنها، RA_{eff_t} = متوسط بارندگی مؤثر در ماه t ، RA_t = متوسط بارندگی در ماه t ، IR_t = نیاز خالص آبیاری در ماه t ، و A = سطح زیر کشت هستند.

همان‌طور که مشخص است، داده‌های ورودی به نرم‌افزار Cropwat شامل کمینه و بیشینه دما، متوسط رطوبت نسبی، متوسط سرعت باد، متوسط ساعت آفتابی در روز، بارندگی، متوسط انرژی بازتاب شده از سطح زمین، ضریب گیاهی، هستند. مدل‌های بهینه‌سازی

در مسائل تصمیم‌گیری به منظور رسیدن به اهداف مورد نظر می‌توان مسئله را به صورت یک مدل ریاضی تبدیل نمود و از روش‌های بهینه‌سازی موجود بهره جست. گزینه‌های ممکن در تصمیم‌گیری به صورت متغیرهای تصمیم در مدل ریاضی در نظر گرفته می‌شوند. تابع هدف در مسائل تخصیص آب به بخش مصرف می‌تواند به صورت کمینه کردن مجموع مجذور کمبودها در تخصیص به این بخش‌ها در هر ماه باشد. لذا، تابع هدف و قیود مربوطه می‌توانند مطابق روابط (۱۰) تا (۱۴) در نظر گرفته شوند:

$$(رابطه ۱۰)$$

$$\begin{aligned} \text{Minimize } Def &= \sum_{t=1}^n \left(\frac{D_t - R_t}{D_t} \right)^2 \\ \forall t &= 1, 2, \dots, T \end{aligned}$$

سناریوی اقلیمی بارندگی مشاهداتی حوضه، سری زمانی متغیرهای اقلیمی مطابق روابط (۳) و (۴) تعیین می‌شوند. HadCM3 لازم به ذکر است متغیرهای اقلیمی از سلولی از مدل استخراج می‌شود که حوضه در درون آن سلول واقع شده است (Wilby and Harris, 2006).

$$\delta TE_j = \overline{TE}_{Had,f,j} - \overline{TE}_{Had,b,j} \quad (رابطه ۱)$$

$$\delta RA_j = \overline{RA}_{Had,f,j} + \overline{RA}_{Had,b,j} \quad (رابطه ۲)$$

$$TE_j = TE_{o,j} + \delta TE_j \quad (رابطه ۳)$$

$$RA_j = RA_{o,j} + \delta RA_j \quad (رابطه ۴)$$

که در آن، δRA_j و δTE_j = به ترتیب بیان‌گر سناریوی اقلیمی مربوط به میانگین بلندمدت دما و بارندگی برای ماه زام؛ $\overline{RA}_{Had,f,j}$ و $\overline{TE}_{Had,f,j}$ = به ترتیب بیان‌گر میانگین بلندمدت میانگین بلندمدت دما و بارندگی شبیه‌سازی شده توسط مدل HadCM3 در بازه تغییر اقلیم (بازه آتی) برای ماه زام؛ $\overline{RA}_{Had,b,j}$ و $\overline{TE}_{Had,b,j}$ = به ترتیب بیان‌گر سری زمانی دما و بارندگی مشاهداتی برای ماه زام؛ δTE_j و δRA_j = به ترتیب بیان‌گر سری زمانی دما و بارندگی شبیه‌سازی شده در بازه پایه برای ماه زام؛ $TE_{o,j}$ و $RA_{o,j}$ = به ترتیب بیان‌گر سری زمانی دما و بارندگی مشاهداتی برای ماه زام؛ TE_j و RA_j = به ترتیب بیان‌گر سری زمانی دما و بارندگی حاصل از پدیده تغییر اقلیم در بازه آتی برای ماه زام می‌باشند.

شبیه‌سازی بارش-رواناب

به منظور بررسی اثر تغییرات پارامترهای اقلیمی بر رواناب، استفاده از مدل‌های بارش-رواناب ضروری است. در این تحقیق برای شبیه‌سازی بارش-رواناب ماهانه از مدل IHACRES استفاده می‌شود (Jakeman and Hornberger, 1993). علت انتخاب این مدل این است که به داده‌های ورودی کمی از جمله دما، بارندگی، مساحت حوضه نیازمند است و دارای الگوریتم ساده برای تبدیل متغیرهای اقلیمی به رواناب است. این مدل از دو زیربرنامه غیرخطی کاوهشی و زیربرنامه خطی آبنمود واحد تشکیل می‌شود. در زیربرنامه اول، بارندگی به بارندگی مؤثر و در زیربرنامه دوم، بارندگی مؤثر به رواناب تبدیل خواهد شد. در ابتدا می‌بایست مدل IHACRES برای حوضه، با استفاده از داده‌های تاریخی واسنجی و سپس صحبت‌سنجدی می‌شود پس از واسنجی مدل، رواناب آتی شبیه‌سازی می‌شود.

برآورد حجم تقاضای آب

به منظور برآورد حجم تقاضای آب از مدل Cropwat استفاده می‌شود. مدل برای محاسبه تبخیر و تعرق گیاهی از روش FAO24 استفاده می‌کند. اساس کلی این روش بر مبنای رابطه

استفاده شده است. از آنجایی که شاخص‌های معرفی شده توسط Hashimoto *et al.* (1982)، روند همگرایی در تغییرات خود را ندارند، تحلیل سیاست‌های بهره‌برداری از مخزن و ایجاد سناریوهای مدیریتی با مشکل روبه‌رو خواهد شد (Loucks, 1997). برای حل این مشکل، Loucks (1997) شاخص جدیدی را تعریف نمود که ترکیبی از سه شاخص اطمینان‌پذیری، آسیب‌پذیری و برگشت‌پذیری است و تمامی جنبه‌های عملکرد یک مخزن در آن دیده می‌شود. این معیار انعطاف‌پذیری نامیده می‌شود و کارترین معیار برای سیاست‌گذاری در طراحی و بهره‌برداری از سامانه تأمین آب است. شاخص انعطاف‌پذیری به صورت زیر بیان می‌گردد:

(رابطه ۱۵)

$$\gamma = \alpha\beta(1-\nu) = [\Pr(X_t \in S)] \cdot [\Pr(X_{t+1} \in S | X_t \in F)] \cdot \left[1 - \frac{\sum_{j \in F} (D_t - R_t)_j}{V_t} \right]$$

که در آن، γ = شاخص انعطاف‌پذیری؛ α = شاخص اطمینان‌پذیری؛ β = شاخص برگشت‌پذیری؛ ν = شاخص آسیب‌پذیری؛ F = شکست (کمبود تأمین آب)؛ S = پیروزی (تأمین آب)؛ X_t = وضعیت سامانه در ماه t ؛ X_{t+1} = وضعیت سامانه در ماه $t+1$ ؛ D_t = احتمال قرارگیری سامانه در سامانه در ماه t و $Prob$ = احتمال پیروزی؛ R_t = مجموع نیازها در ماه t ؛ V_t = رهاسازی در ماه t ؛ a = ارتفاع تبخیر از دریاچه سد در ماه t ؛ EV_t = طول بازه زمانی برنامه‌ریزی و b = ثابت‌هایی که از منحنی سطح- حجم مخزن به دست می‌آید، به‌گونه‌ای که $aS_t + b = Ar_t$ و $Ar_t = aS_t + b$ سطح مخزن در ماه t می‌باشد.

(رابطه ۱۶)

$$S_{t+1} = S_t + Q_t - R_t - SP_t - \frac{EV_t \times (aS_t + b)}{1000} \quad \forall t = 1, 2, \dots, T$$

$$S_{\min} \leq S_t \leq S_{\max} \quad \forall t = 1, 2, \dots, T \quad (رابطه ۱۷)$$

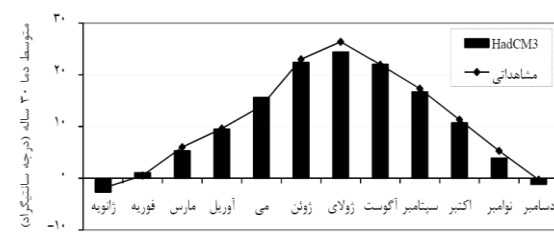
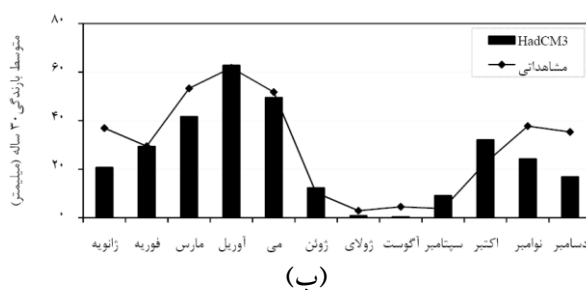
$$0 \leq R_t \leq D_t \quad \forall t = 1, 2, \dots, T \quad (رابطه ۱۸)$$

$$\begin{cases} SP_t = S_t + Q_t - \frac{EV_t \times (aS_t + b)}{1000} - S_{\max} \\ SP_t = 0 \end{cases} \quad \begin{cases} S_t + Q_t - \frac{EV_t \times (aS_t + b)}{1000} \geq S_{\max} \\ otherwise \end{cases} \quad (رابطه ۱۹)$$

که در آن، $Def = D_t - S_{t+1}$ = تابع هدف، D_t = مجموع میزان نیاز بخش کشاورزی، شرب و صنعت و زیست‌محیطی در ماه t ؛ R_t = میزان رهاسازی در ماه t ؛ S_t = میزان حجم ذخیره مخزن در ابتدا و انتهای ماه t ؛ Q_t = حجم جریان ورودی به مخزن سد در ماه t ؛ EV_t = ارتفاع تبخیر از دریاچه سد در ماه t ؛ S_{\min} = میزان حجم طرفیت کل مخزن، S_{\max} = حجم مرده مخزن؛ SP_t = میزان حجم سرریز از مخزن در ماه t ؛ $n =$ طول بازه زمانی برنامه‌ریزی و a و b = ثابت‌هایی که از منحنی سطح- حجم مخزن به دست می‌آید، به‌گونه‌ای که $aS_t + b = Ar_t$ و $Ar_t = aS_t + b$ سطح مخزن در ماه t می‌باشد. بهمنظور دستیابی به تابع هدف مورد نظر، مقادیر بهینه رهاسازی و حجم ذخیره مخزن به‌وسیله روش برنامه‌ریزی غیرخطی (NLP) تعیین می‌گردد. برای حل مسئله به‌وسیله روش NLP از نرم‌افزار LINGO 11.0 استفاده شده است (LINGO User's Guide, 2008).

شاخص انعطاف‌پذیری سامانه مخزن

مهم‌ترین مرحله در استفاده از مدل‌های بهینه‌سازی جهت بهره‌برداری از مخازن، استفاده از شاخص‌های کارآیی می‌باشد. شاخص‌های کارآیی بسته به نوع مسئله و اهداف برنامه‌ریزی می‌توانند متفاوت باشند. در این تحقیق از شاخص انعطاف‌پذیری



شکل ۳. نتایج عملکرد مدل اقلیمی برای (الف) دما و (ب) بارندگی

۰/۹۹ درجه سانتی‌گراد، ۰/۸۲ درجه سانتی‌گراد و ۹۹ درصد بوده و برای بارندگی برابر با ۹/۴۳ میلی‌متر، ۷/۱۶ میلی‌متر و ۸۲ درصد می‌باشد. به عبارت دیگر می‌توان به خروجی نتایج این مدل در شبیه‌سازی متغیرهای اقلیمی حوضه در بازه تغییر اقلیم اطمینان کرد.

محاسبه سناریوی اقلیمی در دوره آتی
ابتدا سری زمانی دما و بارندگی ماهانه مدل HadCM3 تحت سناریوی A2 برای دوره آتی تهیه و برای منطقه طرح، کوچک مقیاس شد. سپس متوسط درازمدت دما و بارندگی ماهانه در دوره آتی و دوره شبیه‌سازی شده پایه توسط همان مدل محاسبه شد. نهایتاً با استفاده از روابط (۱) و (۲)، سناریوی اقلیمی دما و بارندگی منطقه در دوره آتی نسبت به دوره پایه محاسبه شده که نتایج در جدول (۳) ارائه شده است.

همان‌طور که در شکل (۳) نشان داده شده است، عملکرد کلی مدل شبیه‌سازی متغیرهای اقلیمی در بازه پایه موفقیت‌آمیز بوده است که این امر در مورد دما مشهودتر از بارندگی است. جدول (۲) مقایسه داده‌های مشاهداتی و پیش‌بینی شده را با ارزیابی‌های آماری نشان می‌دهد.

جدول ۲. بررسی عملکرد مدل HadCM3

بارندگی	دما			مدل		
	R ²	MAE	RMSE			
(%)	(mm)	(mm)	(%)	(°C)	(°C)	
۸۲	۷/۱۶	۹/۴۳	۹۹	۰/۸۲	۰/۹۹	HadCM3

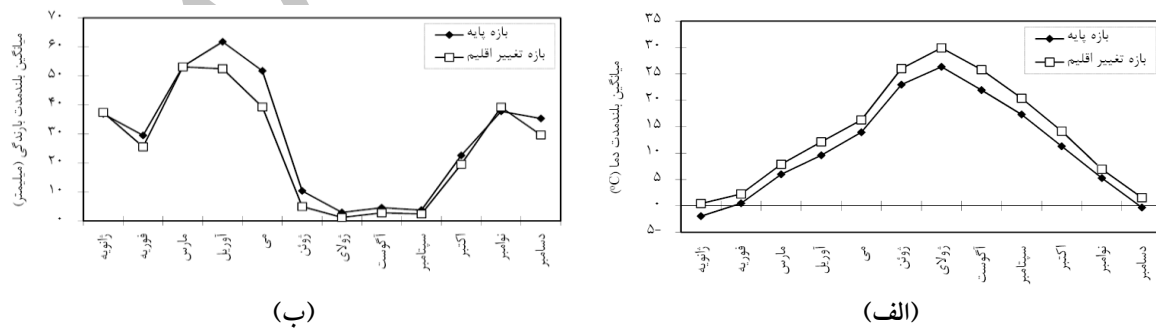
همان‌طور که در جدول (۲) نشان داده شده است، معیارهای جذر میانگین مربعات خطأ (RMSE)، میانگین مطلق خطأ (MAE) و ضریب تعیین (R²)، به ترتیب برای دما برابر با

جدول ۳. سناریوی اقلیمی دما و بارندگی حاصل از مدل HadCM3

سناریوی اقلیمی	ژانویه	فوریه	مارس	آوریل	مای	ژوئن	ژوئیه	اکتبر	نوامبر	دسامبر	سناریوی اقلیمی
δRA_j (درصد)	-۱/۳	-۱۳/۳	-۰/۳	-۱۵/۰	-۲۴/۱	-۵۲/۲	-۶۰/۱	-۳۹/۴	-۳۶/۰	-۱۳/۶	-۱۶/۲
δTE_j (درجه سانتی‌گراد)	۲/۴	۱/۸	۱/۹	۲/۵	۲/۳	۳/۶	۳/۹	۳/۱	۲/۹	۱/۷	۱/۹

همان‌طور که در جدول (۳) نشان داده شده است، دمای حوضه در بازه تغییر اقلیم بین ۱/۷ تا ۳/۹ درجه سانتی‌گراد نسبت به بازه پایه افزایش می‌یابد. همچنین محدوده تغییرات بارندگی در بازه تغییر اقلیم بین -۶۰ تا ۳/۸ درصد نسبت به بازه پایه خواهد بود. در ادامه، پس از محاسبه δTE_j و

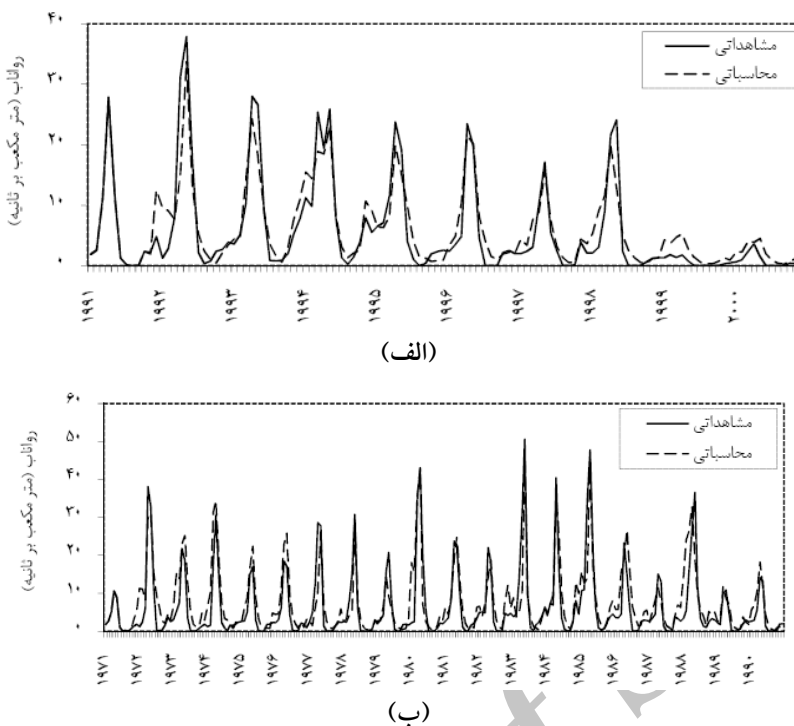
همان‌طور که در جدول (۳) نشان داده شده است، دمای حوضه در بازه تغییر اقلیم بازه پایه افزایش می‌یابد. همچنین محدوده تغییرات بارندگی در بازه تغییر اقلیم بین ۱/۳ تا ۱/۷ درصد نسبت به بازه تغییر اقلیم و پایه افزایش می‌یابد. در ادامه، پس از محاسبه δRA_j و



شکل ۴. مقایسه متوسط بلندمدت ماهانه (الف) دما و (ب) بارندگی در بازه تغییر اقلیم و پایه

نتایج شبیه‌سازی بارش- رواناب
قبل از شبیه‌سازی آبدھی به مخزن در بازه تغییر اقلیم لازم بود که مدل هیدرولوژیکی و استنجی و صحت‌سنجی شود. نتایج و استنجی برای بازه ۱۹۹۱-۲۰۰۰ و صحت‌سنجی برای بازه ۱۹۷۱-۱۹۹۰ در شکل (۵) آورده شده است.

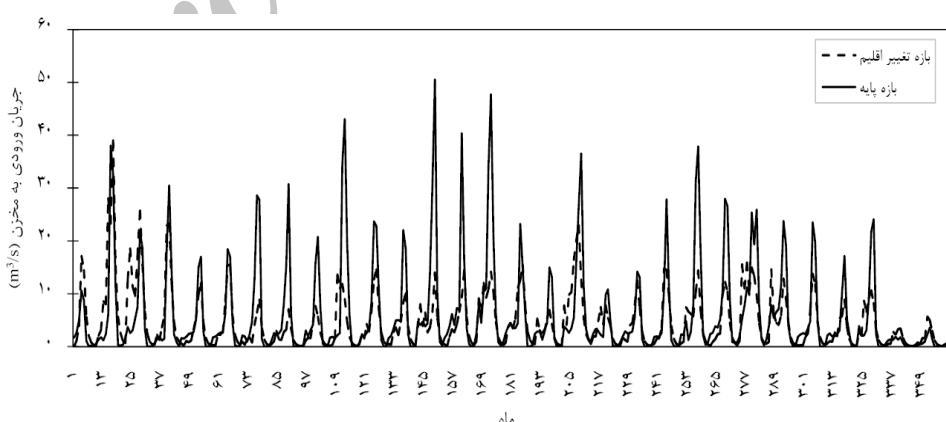
همان‌طور که در شکل (۴) نشان داده شده است، مقایسه متوسط بلندمدت ماهانه دما در بازه تغییر اقلیم حدود ۲۳ درصد نسبت به بازه پایه افزایش می‌یابد. این در حالی است که مقایسه متوسط بلندمدت ماهانه بارندگی در بازه تغییر اقلیم حدود ۱۲ درصد نسبت به بازه پایه کاهش می‌یابد.



شکل ۵. نتایج (الف) واسنجی و (ب) صحت‌سنجی مدل هیدرولوژیکی

صحت‌سنجی نشان دادند که معیارهای ذکر شده فوق به ترتیب برابر با $4/96$ مترمکعب بر ثانیه، $3/2$ مترمکعب بر ثانیه و درصد بوده است. بنابراین بررسی‌ها نشان دادند که مدل می‌تواند قابلیت شبیه‌سازی آبدی مخزن در بازه تغییر اقلیم را داشته باشد که نتایج در شکل (۶) ارائه شده است.

همان‌طور که در شکل ۵ نشان داده شده است، نتایج واسنجی مدل هیدرولوژیکی نشان می‌دهند که معیارهای MAE و R^2 ، به ترتیب برابر با $3/2$ مترمکعب بر ثانیه، 20 مترمکعب بر ثانیه، 86 درصد بوده است و بیان‌گر آن است که عملکرد مدل هیدرولوژیکی موفقیت‌آمیز بوده است. پس از واسنجی، مدل در بازه ۱۹۷۱-۱۹۹۰ صحت‌سنجی شد. نتایج

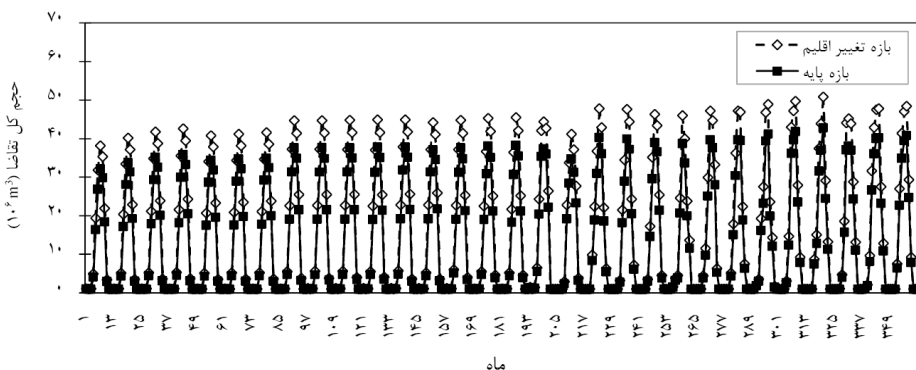


شکل ۶. آبدی ماهانه ورودی به مخزن در بازه تغییر اقلیم و پایه

شبیه‌سازی مدل Cropwat و برآورد حجم کل تقاضا نتایج شبیه‌سازی مدل Cropwat در بازه تغییر اقلیم و پایه در شکل (۷) ارائه شده است.

نتایج شبیه‌سازی مدل نشان می‌دهد که حجم تقاضای آب در بازه تغییر اقلیم حدود 20 درصد نسبت به بازه پایه افزایش یابد

نتایج شکل (۶) نشان می‌دهد که سری زمانی جریان ورودی به مخزن در بازه تغییر اقلیم نسبت به بازه پایه کاهش می‌یابد، به‌گونه‌ای که مقایسه متوسط بلندمدت ماهانه جریان ورودی به مخزن در بازه تغییر اقلیم حدود 25 درصد نسبت به بازه پایه کاهش می‌یابد.

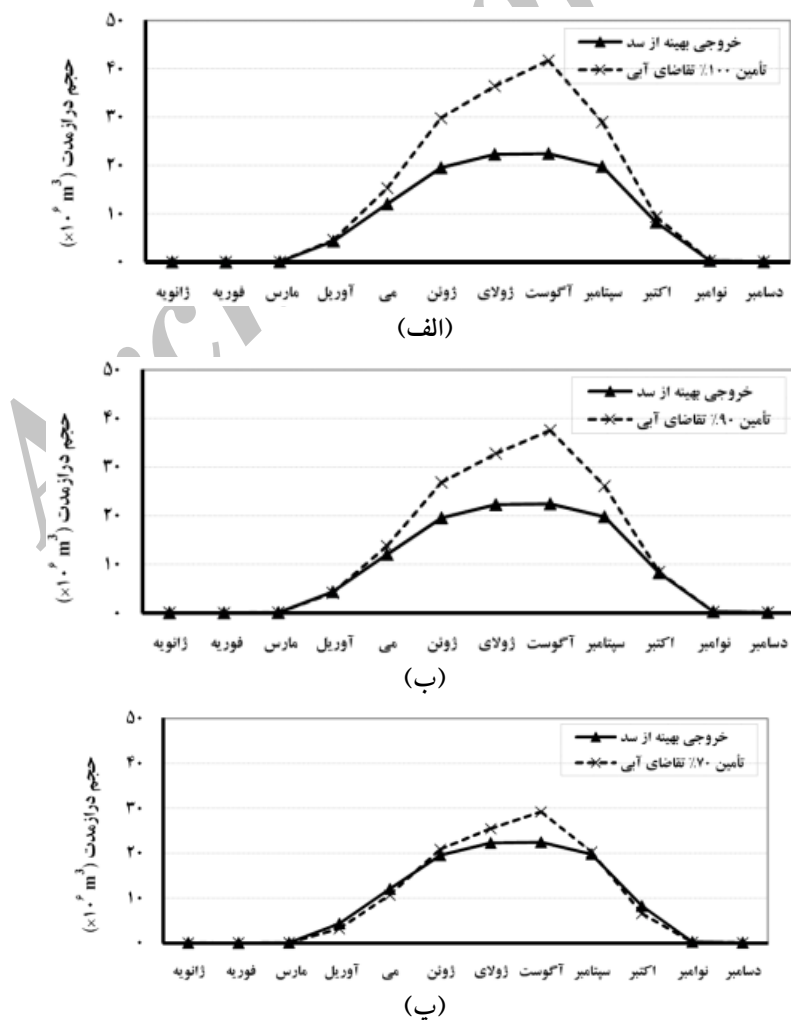


شکل ۷. مقایسه حجم تقاضاهای آبی در بازه تغییر اقلیم نسبت به بازه پایه

به دست آید. به منظور دست یابی به تابع هدف مورد نظر، پارامترهای حجم جریان ورودی به مخزن و حجم تقاضای آب تحت شرایط تغییر اقلیم (سه وضعیت تأمین آب)، تعریف شده و مقداری بهینه رهاسازی و حجم ذخیره مخزن به وسیله نرم افزار LINGO به دست می آید که نتایج حاصله در شکل (۸) ارائه شده است.

بهینه سازی مخزن تحت سه وضعیت تأمین آب در شرایط تغییر اقلیم توسط LINGO

در این قسمت، به منظور بهره برداری بهینه از مخزن سد قرنقو با هدف تأمین تقاضای آب تابع هدفی به صورت کمینه کردن مجموع مجذور کمبودها در تخصیص به مصارف در نظر گرفته می شود تا مقداری بهینه خروجی از مخزن در شرایط تغییر اقلیم



شکل ۸. حجم خروجی بهینه از مخزن سد و حجم تقاضای آبی در دوره آتی برای (الف) وضعیت اول، (ب) وضعیت دوم و (پ) وضعیت سوم با بهینه سازی LINGO

ترتیب می‌توان گفت، در شرایط تغییر اقلیم در صورت ثابت ماندن سطح زیر کشت و الگوی کشت بایستی رویکرد کم آبیاری تا میزان ۷۰ درصد نیاز آبی برای این شبکه در دوره آتی مد نظر قرار گیرد. شایان ذکر است سایر راهکارهای تطبیقی نظری تغییر در سطوح کشت، تغییر در الگوی کشت و استفاده بیشتر از محصولات با نیاز آبی کمتر و افزایش راندمان آبیاری و غیره بایستی مد نظر قرار گیرد.

در ادامه، در بررسی هر یک از وضعیت‌ها از شاخص کارایی انعطاف‌پذیری استفاده شده است که نتایج در هر دو دوره پایه و آتی در جدول (۴) ارائه شده است.

با توجه به این که تقاضای آبی در دوره آتی تا ۲۰ درصد افزایش یافته و حجم جریان ورودی ۲۵ درصد کاهش داشته است، میزان تخصیص آب به بخش تقاضا در شرایط مدیریت بهینه کمتر از تقاضا بوده است. هر چند سعی شده است که با مدیریت بهینه، اثرات این کمبود به حداقل برسد. همین بررسی برای شرایط ۸۵ و ۷۰ درصد تأمین تقاضای آبی انجام و مدیریت بهینه مخزن سد برای این شرایط نیز محاسبه شده است و نتایج در شکل (۸) ارائه شده است. همان‌طور که ملاحظه می‌شود، در ۸۵ درصد تأمین، میزان این کمبودها کاهش یافته و در ۷۰ درصد نسبت به ۱۰۰ درصد تأمین به حداقل می‌رسد. بدین

جدول ۴. مقایسه انعطاف‌پذیری در سه وضعیت تأمین آب و برای دو دوره آتی و دوره پایه در شرایط بهینه‌سازی

شاخص	وضعیت	دوره پایه		دوره آتی		درصد تغییرات و وضعیت انعطاف‌پذیری در شرایط تغییر اقلیم نسبت به دوره پایه ×
		بهینه‌سازی	بهینه‌سازی	بهینه‌سازی	بهینه‌سازی	
انعطاف‌پذیری (درصد)	اول	۵/۳	۶/۶	-۱۹/۷	-۱۹/۷	
	دوم	۱۰/۹	۱۲/۹	-۱۵/۵۰	-۱۵/۵۰	
	سوم	۱۷/۸	۱۸/۱	-۱/۷	-۱/۷	

* عدد مربوطه بیانگر درصد تغییرات انعطاف‌پذیری در شرایط تغییر اقلیم نسبت به دوره پایه و علامت (-) و (+)، به ترتیب نشان‌دهنده بدتر و بهتر شدن انعطاف‌پذیری تحت این شرایط می‌باشد.

آب در دوره (۲۰۶۹-۲۰۴۰) به شرح زیر خواهد بود. بررسی سناریوهای تغییر اقلیم دما و بارندگی از داده‌های مدل HadCM3 نشان می‌دهد که متوسط بلندمدت ماهانه دما در بازه تغییر اقلیم حدود ۲۳ درصد نسبت به بازه پایه افزایش می‌یابد. این در حالی است که مقایسه متوسط بلندمدت ماهانه بارندگی در بازه تغییر اقلیم حدود ۱۲ درصد نسبت به بازه پایه کاهش می‌یابد.

نتایج شبیه‌سازی مدل هیدرولوژیکی نشان داد که سری زمانی جریان ورودی به مخزن در بازه تغییر اقلیم نسبت به بازه پایه کاهش می‌یابد، به گونه‌ای که مقایسه متوسط بلندمدت ماهانه جریان ورودی به مخزن در بازه تغییر اقلیم حدود ۲۵ درصد نسبت به بازه پایه کاهش می‌یابد. از سوی دیگر، نتایج شبیه‌سازی مدل Cropwat نشان داد که حجم تقاضای آب در بازه تغییر اقلیم حدود ۲۰ درصد نسبت به بازه پایه افزایش خواهد یافت.

استخراج سیاست‌های بهره‌برداری بهینه از مخازن توسط مدل بهینه‌سازی نشان داد که در شرایط تغییر اقلیم (با تأمین ۱۰۰ درصد نیاز) نسبت به دوره پایه، انعطاف‌پذیری سامانه به

همان‌طور که نتایج جدول (۴) نشان می‌دهد، در شرایط بهینه‌سازی شاخص انعطاف‌پذیری در شرایط تغییر اقلیم، برای تأمین ۱۰۰ تقاضا (وضعیت اول)، ۵/۳ درصد بوده که کمتر از دوره پایه بوده است. در وضعیت دوم، انعطاف‌پذیری سامانه برای تأمین ۸۵ تقاضا، ۱۰/۹ می‌یابشد که همچنان کمتر از دوره پایه است. همچنین در وضعیت سوم، انعطاف‌پذیری سامانه در شرایط تغییر اقلیم به ۱۷/۸ درصد می‌رسد که به میزان حدود ۲ درصد نسبت به دوره پایه کاهش می‌یابد. مقایسه انعطاف‌پذیری سامانه در وضعیت‌های اول، دوم و سوم در دوره تغییر اقلیم نسبت به دوره پایه به ترتیب کاهش حدود ۲۰، ۱۶ و ۲ درصدی را نشان می‌دهد. بنابراین همان‌طور که مشخص است برای وضعیت سوم (تأمین بر اساس ۷۰ درصد) نسبت به وضعیت اول (تأمین بر اساس ۱۰۰ درصد) تغییرات انعطاف‌پذیری بین دو دوره تغییر اقلیم و پایه کمتر است.

جمع‌بندی و نتیجه‌گیری

نتایج حاصل از بررسی تأثیرات انعطاف‌پذیری سامانه مخزن قرقنو (آذربایجان شرقی) در شرایط تغییر اقلیم بر تأمین بهینه

و کارآمد را برای چگونگی تأمین تقاضا در دوره‌های کم‌آبی اتخاذ نمود به خصوص در بازه تغییر اقلیم که تنش‌های آبی به شدت تشدید می‌گرددند می‌توان قواعد بهره‌برداری از مخازن را با توجه به تغییرات شاخص‌های کارایی و دوره بحرانی برای مدیریت بهینه مخازن بکار گرفت. مقایسه تحقیق حاضر با سایر تحقیقات از جمله زمانی و همکاران (۲۰۱۷) بیان‌گر این واقعیت هستند که این‌گونه شاخص‌ها می‌توانند نشان‌دهنده وضعیت تأمین تقاضای آب به خصوص در شرایط تغییر اقلیم باشد.

REFERENCES

- Ashofteh, P.-S. and Bozorg-Haddad, O. (2014). "Extraction of operating rules from reservoir under climate change effect", *Iranian Journal of Soil and Water Research*, 45 (2), 113-121.
- Ashofteh, P.-S. and Massah Bavani, A. R. (2012). "Investigation of AOGCM model uncertainty and emission scenarios of greenhouse gases impact on the basin runoff under climate change, case study Gharanghu basin, East Azerbaijan", *Iran-Water Resources Research*, 8 (2), 36-47.
- Boyer, C., Chaumont, D., Chartier, I. and Roy, A.G., (2010). "Impact of climate change on the hydrology of St. Lawrence tributaries", *Journal of Hydrology*, 384 (1-2), 65- 83.
- Chen, D., Chen, Q., Leon, A. S. Ruonan, L., (2016). "A genetic algorithm parallel strategy for optimizing the operation of reservoir with multiple eco-environmental objectives", *Water Resources Management*, 30 (7), 2127-2142, DOI: 10.1007/s11269-016-1274-1.
- Hashimoto, T., Stedinger, J. R., and Loucks, D. P. (1982). "Reliability, resiliency and vulnerability criteria for water resources system performance evaluation", *Water Resources Research*, 18 (1), 14-20, DOI: 10.1029/WR018i001p00014.
- IPCC, (2007). Summary for Policymakers, in: Climate Change 2007. Solomon, S., D. Qin, M. Manning, Z. Chen, M. Marquis, K.B. Averyt, M.Tignor and H.L. Miller (eds.) (2007) Climate Change 2007: The Physical Science Basis. Contribution of Working Group I to the Fourth Assessment Report of the Intergovernmental Panel on Climate Change, Cambridge University Press, Cambridge, 1-18P.
- IPCC-DDC. (1988). "Data distribution centre." <<http://ipcc-ddc.cru.uea.ac.uk/>>.
- Loucks, D. P. (1997). "Quantifying trends in system sustainability", *Hydrological Sciences Journal*, 42 (4), 513-530.
- Jakeman, A.J. and Hornberger, G.M., (1993). "How Much Complexity Is Warranted in a Rainfall-Runoff Model?" *Water Resources Research*, 29(8): 2637-2649.
- Krol, M. S., de Vries, M. J., van Oel, P. R., and de Araújo, J. C. (2011). "Sustainability of small reservoirs and large scale water availability under current conditions and climate change", *Water Resources Management*, 25 (12), 3017-3026.
- Lingo User's Guide., (2008). Lindo System Inc.
- OECD, (1993). "OECD core set of indicators for environmental performance reviews", OECD Environment Monographs, No. 83. OECD, Paris.
- Quinn, N.W.T., Brekke, L.D., Miller, N.L., Heinzer, T., Hidalgo, H. and Dracup, J.A., (2004). "Model integration for assessing future hydroclimate impacts on water resources, agricultural production and environmental quality in the San Joaquin Basin, California", *Journal of Environmental Modeling and Software*, 19(3), 305- 316.
- Salemi, H. R. and Heydari, N. (2006). "Assessment of water supply and use in the Zayandeh-Rud river basin, Iran", *Iranian Journal of Soil and Water Research*, 2 (1), 72-76.
- Santamarta, J. C., Neris, J., Rodriguez-Martin, J., Arraiza, M. P., and Lopez, J. V. (2014). "Climate change and water planning: New challenges on islands environments", *International Conference on Environment Systems Science and Engineering*, 9, 59-63.
- Wilby, R.L. and Harris, I., (2006). "A framework for assessing uncertainties in climate change impacts: low flow scenarios for the River Thames, UK", *Water Resources Research*, 42 (2), 1-10.
- Yan, D., Warners, S. E., and Ludwig, F., and Huang, H. Q. (2015). "Hydrological response to climate change: The Pearl River, China under different RCP scenarios", *Journal of Hydrology*, 4, 228-245.
- Yu, P.-S., Yang, T.-C., and Wu, C.-K. (2002). "Impact of climate change on water resources in southern Taiwan", *Journal of Hydrology*, 260 (1-4), 161-175.
- Zamani, R., Akhond-Ali, A. M., Ahmadianfar, I., and Elagib, N. A. (2017). "Optimal reservoir operation under climate change based on a probabilistic approach", *Journal of Hydrologic Engineering*, 22 (10).